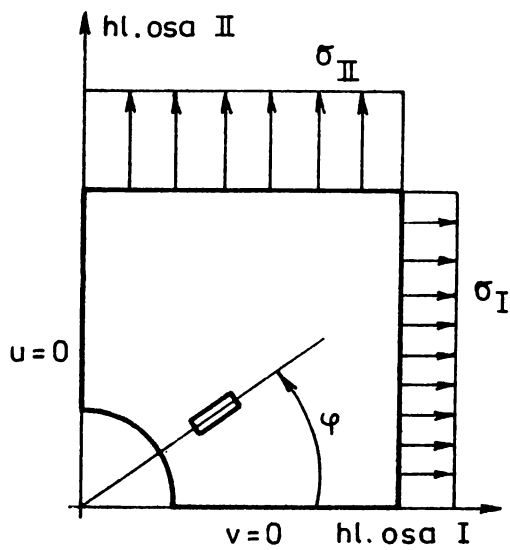


STANOVENÍ ZBYTKOVÝCH NAPĚtí ODVRTÁVACÍ METODOU PŘI LOKÁLNÍM ZPLASTIZOVÁNÍ OKOLÍ OTVORU

Petruška, J., Charvát, P., Vlk, M.
Katedra mechaniky těles, FS VUT Brno, Technická 2
616 69 Brno

Matharova odvrtávací metoda [1], [2] je široce využívána v průmyslové praxi při určování zbytkových napětí konstrukcí. Její použitelnost je však omezena podmínkou elastického stavu materiálu v okolí odvrтанého otvoru, zahrnující oblast nalepené tenzometrické růžice. To platí jak pro její variantu vycházející z Kirschova [3] analytického řešení [4], tak i pro variantu využívající experimentálně stanovených konstant [5]. Toto omezení je významné; je známo, že např. při jednoosé napjatosti dojde díky koncentraci napětí k plastickej deformačím okolí otvoru již při nominálním napětí dosahujícím třetiny meze kluzu. Při větší plastickej oblasti poskytuje klasická odvrtávací metoda nadhodnocené výsledky. Náplní tohoto příspěvku je návrh a ověření takového výhodnocení naměřených hodnot, které rozšiřuje použitelnost odvrtávací metody i pro takové úrovně zbytkových napětí, kde dojde po odvrtní k lokálnímu zplastizování okolí otvoru.

Podrobněji se tímto problémem zabývá práce [6], která však vychází z předpokladu, že napjatost v okolí otvoru je blízká jednoosé. V tomto příspěvku předkládáme obecnější postup, který neklade žádné apriorní předpoklady o charakteru napjatosti. Základní myšlenka spočívá ve srovnání reálně naměřených hodnot přetvoření v okolí otvoru s hodnotami získanými pružně plastickej výpočtem, který numericky simuluje proces odvrtní. Vzhledem k symetrii vůči hlavním osám je numerické řešení uskutečneno na oblasti, která odpovídá čtvrtině okolí otvoru - viz obr. Vnější hranice oblasti je namáhána nominálními hodnotami hlavních napětí σ_1 , σ_2 . Proces odvrtní otvoru je simulován postupným potlačením silových okrajových podmínek na obloukové hranici řešené oblasti z výchozího stavu, který odpovídá homogenní napjatosti před odvrtním, až na nulu v posledním přírůstku, což odpovídá plně odvrtanámu otvoru. Výsledkem numerického řešení je pole přetvoření nad celou oblastí ve všech přírustcích, můžeme tedy snadno určit i numericky simulovaná "tenzometrická" přetvoření v těch místech a směrech, kde by při skutečném experimentu byly nalepeny tenzometry. Tuto množinu



hodnot budeme označovat jako výpočtová přetvoření ξ' , při vyšším namáhání má v sobě zahrnutu i plastickou složku. Opačováním numerického řešení okolí otvoru pro různé vzájemné kombinace hodnot G_r , G_k s dostatečně jemným krokem získáme množinu diskrétních výpočtových přetvoření $\xi' = \xi'(G_r, G_k, \varphi)$ kde φ je dle obr. úhel mezi hlavním směrem I a polohou fiktivního tenzometru. Etapa vytváření množiny ξ' opakováním pružně plastickým výpočtem je časově náročná, ale při současném hardwarovém a softwarovém vybavení zvládnutelná [7].

Při výhodnocení naměřených hodnot postupujeme tak, že k přetvořením ξ_r , ξ_z , ξ_3 tenzometrické růžice vyhledáme z množiny výpočtových přetvoření ξ' takovou trojici ξ_r' , ξ_z' , ξ_3' , pro kterou je odchylka skutečných a výpočtových přetvoření ve zvolené normě minimální. Určená trojice ξ_r' , ξ_z' , ξ_3' je výsledkem některé z variant numerického výpočtu a proto známe hlavní napětí, která ji vyvolala, i její natočení vůči hlavním osám. Takto určené hodnoty G_r , G_k a φ jsou hledanými parametry uskutečněného experimentu. Rozsah příspěvku bohužel neumožnuje blíže rozvést některé důležité detaily algoritmu jako hodnocení jednoznačnosti výsledku, zahrnutí konečných rozměrů tenzometru nebo korekci na změnu materiálových parametrů; odkazujeme zde na práci [8].

Navržený algoritmus byl testován výhodnocením reálných experimentů a srovnáním s výsledky dosaženými při použití klasických výhodnocovacích vztahů. Některé z výsledků jsou uvedeny v tabulce. Jak je zřejmé, pro nižší úrovně zbytkových napětí $G_{red} / G_k < 0,5$ se dosahuje dobré shody s klasickým výhodnocením jak v hodnotách G_r , G_k , tak v hlavních směrech. Pro vyšší úrovně namáhání poskytuje dle očekávání nově navržený algoritmus fyzikálně opodstatněně nižší hodnoty hlavních napětí. S ohledem na tyto výsledky je možno navržený algoritmus považovat za vhodnou alternativu výhodnocení experimentu, která koriguje v oblasti vyšších namáhání nadhodnocené výsledky klasických postupů.

změřeno [-]	určeno klasicky [MPa]			G_{red} / G_k	navržený algoritmus [MPa]		
	G_r	G_k	φ		G_r	G_k	φ
64, 171, 132	-75	-181	147	0,31	-95	-181	145
136, 21, 67	-75	-190	57	0,33	-95	-190	60
-197, -272, 9	258	-13	30	0,53	277	0	30
147, 366, 308	-191	-402	150	0,70	-190	-380	150
856, 90, -70	-145	-860	73	0,94	0	-663	70

Literatura

- [1] Mathar,J., Arch.Eisenhüttenwesen 6, 1932, No.6
- [2] Vlk,M., Sborník sem. "Vlastní pnutí v ocelových konstrukcích", Praha, 1978
- [3] Kirsch,G., Z.VIII 42, 1898, No.29
- [4] Soete,W., Vancrombrugge,R., Proc.SESA 13,str.17,1950
- [5] Rendler,N.J.,Vigness,I., Experimental Mech.6,str.577,1966
- [6] Havlůj,V., Kand.disertační práce, ČVUT Praha, 1981
- [7] Petruška,J., Sborník semináře IVS MKP, Zvolen, 1988
- [8] Charvát,P., Dipl. práce, kat.mechaniky FS VUT Brno, 1989